



普通高等教育

电气自动化类

国家级特色专业系列规划教材

模拟电子技术基础

唐治德 主编

3



科学出版社

www.sciencep.com

普通高等教育电气自动化类国家级特色专业系列规划教材

模拟电子技术基础

唐治德 主编

科学出版社

北京

内 容 简 介

本书是重庆大学国家电工电子基础课程教学基地建设的成果之一,具有教材体系科学、教学内容先进和教学适应性强的特点。本书系统介绍模拟电路的分析方法、设计方法和典型应用,内容包括电子系统概述、集成运算放大器的开环特性和等效模型、负反馈放大电路、基本运算电路、有源滤波电路、半导体二极管及其应用电路、晶体管及其放大电路、场效应管及其放大电路、集成放大电路、非线性运算电路、信号产生电路和直流稳压电源。

本书内容充实、论述透彻、便于自学,可作为高等学校电气信息类(含电气类、电子类)专业的模拟电子技术基础课程教材,也可供从事电子技术工作的工程技术人员参考。

图书在版编目(CIP)数据

模拟电子技术基础/唐治德主编. —北京:科学出版社,2009
(普通高等教育电气自动化类国家级特色专业系列规划教材)
ISBN 978-7-03-025284-5

I. 模… II. 唐… III. 模拟电路-电子技术-高等学校-教材 IV. TN710

中国版本图书馆 CIP 数据核字(2009)第 145517 号

责任编辑:巴建芬 贾瑞娜 / 责任校对:陈丽珠
责任印制:张克忠 / 封面设计:耕者设计工作室

科 学 出 版 社 出 版

北京东黄城根北街 16 号

邮政编码: 100717

<http://www.sciencep.com>

科 学 出 版 社 印 刷

科学出版社发行 各地新华书店经销

*

2009 年 8 月第 一 版 开本: 787×1092 1/16

2009 年 8 月第一次印刷 印张: 23 1/4

印数: 1—3 500 字数: 575 000

定 价: 36.00 元

(如有印装质量问题,我社负责调换(环伟))

前　　言

电子技术是与信息社会密切相关的、最重要的工程领域之一。从移动电话到计算机,从汽车到核电站,从工业和农业到航天,无处不见电子技术的身影。因此,工程师和科学家都应该对电子系统有一个基本的了解。

编者根据教育部组织编写的《电子技术基础(A)课程基本要求》,结合自身多年教学和科研工作经验,编写了这本《模拟电子技术基础》教材。根据电子技术知识的逻辑关系构建了科学的教材体系,内容由浅入深、循序渐进,符合认知规律。本书在选材方面注重基础性和先进性相结合、理论知识与工程应用相结合,适应21世纪对电气信息类专业人才的要求;运用类比和归纳的思维方法,科学地处理好教学内容的深度和广度、教学内容的特殊性和工程问题的一般性的关系;在教学方面,强调教学内容的适应性,特别适合48~56学时的理论教学和16学时的实验教学;在学习方面,注重目的性、趣味性和实用性,概念清楚,论述严密,易学易用。

本书系统介绍模拟电子技术的基本知识、基本理论、常用集成器件及其应用,内容包括电子系统概述、集成运算放大器的开环特性和等效模型、负反馈放大电路(包括电压-电流转换电路)、基本运算电路(包括比例、加法、减法、积分和微分)、有源滤波电路(包括巴特沃思滤波器的设计)、半导体二极管及其应用电路、晶体管及其放大电路、场效应管及其放大电路、集成放大电路(包括电流源电路、差分放大电路、集成功率放大器、集成运算放大器等)、非线性运算电路(包括集成乘法器、对数和指数运算电路、集成电压比较器等)、信号产生电路和直流稳压电源(包括基准电压源、线性稳压电路、开关稳压电路)。根据教学安排,加“*”的章节可作选讲内容。

本书具有教材体系科学、教学内容先进和教学适应性强的特点。它是重庆大学国家电工电子基础课程教学基地建设的成果之一,汇集了重庆大学电子技术课程组全体同仁的智慧。唐治德编写了第1、2、3、6、10、12章,并负责全书的统稿工作;王明昌编写了第4、9章;吕宗伟编写了第5章以及各章的Multisim算例和附录;申利平编写了第7、8章;熊兰编写了第11章。

虽然在教学工作中辛勤耕耘了数十年,但由于编者的水平有限,本书中仍可能存在不足之处,恳请同行专家和广大读者批评指正。

最后,衷心感谢为本书付出辛勤劳动的同仁和支持本书出版的编辑们!

唐治德

2009年3月

目 录

前言

第1章 电子系统概述	1
1.1 电力系统与电子系统	1
1.2 信号及其频谱	2
1.2.1 信号	2
1.2.2 信号的频谱	3
1.3 电子系统组成框图	6
1.4 电子技术及其发展概述	6
习题	9
第2章 集成运算放大器的开环特性和等效模型	10
2.1 放大电路基础	10
2.1.1 放大电路的概念	10
2.1.2 放大电路的等效模型	11
2.1.3 放大电路的主要性能指标	13
2.2 集成运算放大器的基本概念	16
2.3 运算放大器的开环传输特性	17
2.4 运算放大器的线性模型	18
2.4.1 运算放大器的交流线性模型	18
* 2.4.2 直流电源和温度的影响	19
2.4.3 运算放大器的开环增益频率特性	22
2.5 运算放大器的非线性模型	23
* 2.6 Multisim 仿真——集成运算放大器的开环传输特性	24
习题	25
第3章 负反馈放大电路	28
3.1 反馈的基本概念	28
3.1.1 反馈和反馈放大电路的框图	28
3.1.2 反馈的分类和判断	30
3.2 负反馈放大电路的四种基本组态	34
3.2.1 电压串联负反馈	34
3.2.2 电压并联负反馈	35
3.2.3 电流串联负反馈	36
3.2.4 电流并联负反馈	37
3.3 负反馈放大电路的闭环增益表达式	38
3.4 负反馈对放大电路性能的改善	39
3.4.1 提高增益的稳定性	39

3.4.2 扩展通频带宽	39
3.4.3 减小非线性失真	40
3.4.4 抑制干扰和噪声	41
3.4.5 对输出电阻和输入电阻的影响	42
3.5 深度负反馈放大电路的计算	43
3.5.1 深度负反馈的特点	43
3.5.2 电流-电压转换器	45
* 3.5.3 电压-电流转换器	46
* 3.5.4 电流放大器	47
* 3.6 深度负反馈放大电路的计算误差	47
* 3.7 直流负反馈对输出失调电压和温度漂移的抑制	49
3.8 负反馈放大电路的自激振荡及消除方法	49
3.8.1 自激振荡的条件	49
3.8.2 负反馈放大电路的稳定性分析	50
* 3.8.3 频率补偿	52
* 3.9 Multisim 仿真——电压串联负反馈	54
习题	56
第4章 基本运算电路	59
4.1 比例运算电路	59
4.1.1 反相比例运算电路	59
4.1.2 同相比例运算电路	61
4.2 加法电路	62
4.2.1 反相加法电路	63
4.2.2 同相加法电路	63
4.3 减法电路	64
4.3.1 单运放减法电路	64
4.3.2 仪用放大电路	65
* 4.4 通用函数运算电路原理	66
4.5 积分和微分电路	67
4.5.1 积分电路	67
4.5.2 微分电路	68
* 4.6 Multisim 仿真——求和电路和积分电路	70
习题	71
第5章 有源滤波电路	76
5.1 滤波器的功能及分类	76
5.2 滤波器的数学描述	77
5.2.1 滤波器的传递函数	77
5.2.2 滤波器的稳态频率响应	78
5.3 一阶滤波器	80
5.4 二阶滤波器	82

5.4.1 二阶低通滤波器	82
5.4.2 二阶高通滤波器	84
5.4.3 二阶带通滤波器	85
5.4.4 二阶带阻滤波器	87
* 5.5 滤波器设计	89
5.5.1 频率变换	90
5.5.2 巴特沃思滤波器	90
5.5.3 巴特沃思低通滤波器设计示例	93
* 5.6 Multisim 仿真——二阶低通滤波器的频率特性	95
习题	96
第6章 半导体二极管及其应用电路	99
6.1 半导体材料	99
6.1.1 本征半导体	99
6.1.2 N型半导体	100
6.1.3 P型半导体	101
6.2 PN结的形成及特性	102
6.2.1 PN结的形成	102
6.2.2 PN结的单向导电性	103
6.2.3 PN结的电容效应	104
6.2.4 PN结的反向击穿	105
6.3 半导体二极管	106
6.3.1 二极管的结构	106
6.3.2 二极管的伏安特性	106
6.3.3 二极管的主要参数	108
6.4 二极管电路分析方法	108
6.4.1 图解法	108
6.4.2 小信号模型法	110
6.4.3 分段线性模型法	112
6.5 特殊二极管	115
6.5.1 稳压二极管	115
6.5.2 变容二极管	117
6.5.3 光电二极管	117
6.5.4 发光二极管	118
* 6.6 Multisim 仿真——二极管的伏安特性	119
习题	120
第7章 晶体管及其放大电路	125
7.1 晶体管	125
7.1.1 晶体管的结构	125
7.1.2 晶体管的工作原理	127
7.1.3 晶体管的伏安特性	129

7.1.4 晶体管的主要参数	131
7.1.5 温度对晶体管的特性与参数的影响	132
7.2 放大电路的直流偏置	133
7.2.1 基本偏置电路和静态工作点分析方法	133
7.2.2 电流串联负反馈偏置电路	135
7.2.3 电压并联负反馈偏置电路	136
7.3 共射极放大电路	136
7.3.1 信号的耦合方式	137
7.3.2 晶体管的低频小信号模型	138
7.3.3 放大电路的小信号分析	141
7.3.4 放大电路的大信号分析	145
7.3.5 放大电路的组成原则	147
7.4 共集电极和共基极放大电路	147
7.4.1 共集电极放大电路	147
7.4.2 共基极放大电路	150
7.4.3 晶体管三种放大电路的比较	152
* 7.5 组合放大电路	153
7.5.1 共集-共基组合放大电路	153
7.5.2 共集-共集组合放大电路	154
7.6 放大电路的频率响应	156
7.6.1 晶体管的高频小信号模型	157
7.6.2 晶体管的频率参数	159
7.6.3 共射极放大电路的频率响应	160
* 7.6.4 共集电极放大电路的频率响应	167
* 7.6.5 共基极放大电路的频率响应	170
* 7.7 Multisim 仿真——放大电路的静态分析和动态分析	173
习题	174
第8章 场效应管及其放大电路	183
8.1 绝缘栅型场效应管	183
8.1.1 N 沟道增强型 MOSFET	183
8.1.2 N 沟道耗尽型 MOSFET	188
8.1.3 P 沟道 MOSFET	189
8.1.4 MOSFET 的主要参数	190
8.2 结型场效应管(JFET)	192
8.2.1 JFET 的结构和工作原理	192
8.2.2 JFET 的特性曲线	194
8.3 场效应管放大电路	194
8.3.1 场效应管放大电路的三种组态	194
8.3.2 直流偏置电路和静态分析	195
8.3.3 小信号模型和动态分析	198

* 8.4 BJT 与 FET 的组合放大电路.....	202
8.4.1 BJT 基本放大电路和 FET 基本放大电路的比较	202
8.4.2 共源-共射组合放大电路.....	202
* 8.5 Multisim 仿真实例——共源放大电路的仿真分析	205
习题.....	206
第 9 章 集成放大电路.....	211
9.1 集成放大电路概述	211
9.1.1 单片集成电路中的元件及特点	211
9.1.2 集成放大电路的组成框图	212
9.2 电流源电路	212
9.2.1 BJT 电流源	212
9.2.2 场效应管(FET)电流源	215
9.3 差分放大电路	216
9.3.1 共射差分放大电路的组成和工作原理	216
9.3.2 共射差分放大电路的输入输出方式和交流性能	221
9.3.3 共射差分放大电路的电压传输特性.....	225
9.3.4 共源差分放大电路.....	226
9.4 功率放大电路	227
9.4.1 功率放大电路概述	227
9.4.2 乙类 OCL 功率放大电路	229
9.4.3 乙类 OTL 电路和乙类 BTL 电路	233
9.4.4 甲乙类互补对称功率放大电路	234
9.4.5 集成功率放大器	236
* 9.4.6 功率器件的散热	239
9.5 集成运算放大器	240
9.5.1 双极型集成运算放大器 LM741	240
9.5.2 CMOS 集成运算放大器 MC14573	243
9.5.3 集成运算放大器的主要参数	244
9.5.4 集成运算放大器的种类和选择	246
* 9.6 Multisim 仿真——差分放大电路分析	247
习题.....	248
第 10 章 非线性运算电路	254
* 10.1 变跨导模拟乘法器.....	254
10.1.1 变跨导模拟乘法器原理	254
10.1.2 四象限变跨导乘法器	255
10.1.3 变跨导模拟乘/除法器	256
* 10.2 对数和指数运算电路.....	258
10.2.1 对数运算电路	259
10.2.2 指数运算电路	260
10.2.3 对数式乘/除法电路	261

* 10.3 精密整流电路.....	262
10.3.1 精密半波整流电路	262
10.3.2 精密全波整流电路	263
* 10.4 峰值检测电路.....	264
10.5 电压比较器.....	265
10.5.1 单限比较器	265
10.5.2 集成电压比较器	267
10.5.3 迟滞比较器	268
10.5.4 窗口比较器	270
* 10.6 Multisim 仿真——迟滞比较器的特性	271
习题.....	273
第 11 章 信号产生电路	278
11.1 正弦波振荡器.....	278
11.1.1 正弦波振荡原理	278
11.1.2 RC 正弦波振荡器.....	280
11.1.3 LC 谐振回路的特性和选频放大器	283
11.1.4 LC 正弦波振荡器	285
11.1.5 石英晶体振荡器	289
11.2 非正弦波振荡器.....	291
11.2.1 矩形波振荡器	291
11.2.2 三角波振荡器	293
11.2.3 锯齿波振荡器	294
* 11.3 单片集成函数发生器.....	295
* 11.4 Multisim 仿真——电感反馈式正弦波振荡器	300
习题.....	301
第 12 章 直流稳压电源	310
12.1 直流稳压电源概述.....	310
12.1.1 直流稳压电源的作用和组成框图	310
12.1.2 直流稳压电源的主要技术指标	310
12.2 单相整流电路.....	312
12.2.1 单相半波整流电路	312
12.2.2 单相桥式整流电路	314
12.2.3 倍压整流	316
12.3 电源滤波电路.....	317
12.3.1 电容滤波电路	318
12.3.2 电感滤波电路	321
12.3.3 复式滤波电路	323
12.4 线性稳压电路.....	323
12.4.1 线性并联稳压电路	324
12.4.2 线性串联稳压电路	327

12.4.3 电压基准电路	329
12.5 集成线性稳压器.....	331
12.5.1 三端固定稳压器	331
12.5.2 三端可调稳压器	334
* 12.6 开关稳压电路.....	336
12.6.1 开关串联稳压电路	336
12.6.2 开关并联稳压电路	338
* 12.7 开关集成稳压器.....	340
12.7.1 LM2576 开关集成稳压器	340
12.7.2 LM2576 应用电路	341
* 12.8 Multisim 仿真——三端固定稳压器 W7805 的特性	342
习题.....	344
参考文献.....	350
附录 A 电子设计自动化简介.....	351
附录 B Multisim 简介	353

第1章 电子系统概述

学习本章后,读者将了解:

- 实际的两大电路系统——电力系统和电子系统的主要功能。
- 信号的概念,典型信号的频谱。
- 电子系统的组成框图。
- 放大电路的功能、等效电路模型和主要技术性能指标。
- 电子技术及其发展简史。

1.1 电力系统与电子系统

实际电路系统主要有电力系统和电子系统两大类。

电力系统的主要作用是实现电能的生产、变换、传输、分配和使用。电力系统是由发电厂、输电网、配电网和电力用户组成的一个整体,是将一次能源转换成电能并输送和分配到用户的一个统一系统。发电厂通过发电机等设备将一次能源转换成电能。例如,火力发电厂将化学能(燃烧煤、石油和天然气等)转换为电能,水力发电厂将水的势能转换为电能,核电厂将原子能转换为电能。输电网和配电网由电力变压器、电力线路、电力开关设备和电力电容器等组成,它是一个跨越广大地理区域的巨大电路。在我国,通常到达用户的单相正弦配电电压是220V、频率50Hz,三相正弦配电电压是380V、频率50Hz。发电厂生产的电能经过输电网和配电网输送和分配到用户的用电设备(电动机、家用电器和照明等),从而完成电能从生产到使用的整个过程。电力系统为工业、农业和社会生活的电气化建立起坚实的物质基础,产生了服务于电力系统的电气工程学科。

根据电力系统的功能,电力系统的设备工作在高电压和强电流的状态(俗称为强电)。例如,三峡发电厂装有26台发电机组,每台机组的发电容量是700MW,额定输出电压是20kV,额定输出电流达22kA,电压频率是50Hz。三峡发电厂的年发电量达 $846 \times 10^8 \text{ kW} \cdot \text{h}$ (电能)。由于金属材料的能量损耗很小,为了提高电能生产、传输和使用的效率,电力系统中的电气设备主要使用金属和绝缘材料,传导电流的机理主要是电子在金属材料中的运动。

电子系统则是由电子电路和传输介质组成的、完成特定功能的整体。与电力系统处理能量不同,电子系统的主要作用是实现电信号的产生、获取、放大、变换、传输、识别和应用等功能(或前述的部分功能),处理的对象是信号。所谓信号是随时间变化的某种物理量,是信息的表现形式与传送载体。例如,体温反映人的健康信息,体温37℃表示健康,38℃表示略有小疾。一般情况下,用电子系统处理电信号(电压或电流)比用其他方式(如机械方式)处理更容易、成本更低、可靠性更高,故通常将各种非电信号转换为电信号后再进行处理。因此,现代电子系统(通信系统、电视系统、计算机系统和工业控制系统等)成为信息化社会的物质基础。

由于真实世界的信号是多种多样的,存在于世界的各个角落,所以有许多不同的电子系统。例如,电力系统中有电能的质量信息、安全信息和调度信息等,故电力系统还包括保证其

安全可靠运行的继电保护装置、安全自动装置、调度自动化系统和电力通信等相应的辅助系统,它们统称为二次系统。目前,二次系统通常由电子系统实现。

一个简单的有线扩音系统框图如图 1.1.1 所示。人的语音信息通过声音传输,拾音器将声音引起的空气振动转换为电压信号;音频放大器将输入电压信号的幅度和功率放大,并驱动扬声器;扬声器将放大的电压信号还原成声强大的声音,听众提取语音信息并做出相应的反应。

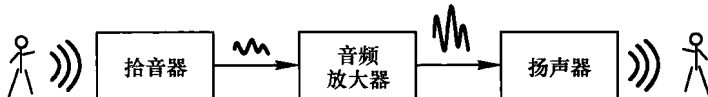


图 1.1.1 有线扩音系统

将非电信号转换为电信号(电压或电流)的部件称为传感器(或换能器),如图 1.1.1 所示的有线扩音系统的拾音器。电子系统的核心是由电子元器件组成的实现信号处理的电路,称为电子电路,如图 1.1.1 所示的有线扩音系统的音频放大器。信号处理泛指对输入信号进行放大、运算、滤波、变换和传输等操作。经过电子系统处理后的电信号需要被还原为原来的非电信号,去影响物理世界。实现这种功能的部件称为执行器,如图 1.1.1 所示的有线扩音系统的扬声器。执行器消耗电能,通常用电阻模拟(R_L),作为电子系统的负载。

1.2 信号及其频谱

1.2.1 信号

信号是随时间变化的某种物理量,是信息的表现形式与传送载体。

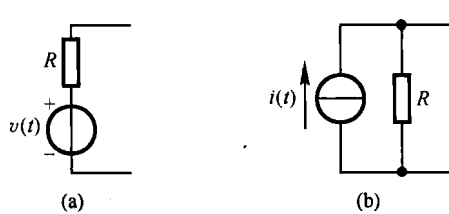


图 1.2.1 传感器等效为电压源或电流源

传感器作为电子系统的一种信号源,可等效为电压源或电流源,如图 1.2.1 所示。图中的电阻 R 表示转换过程中传感器的能量损耗,电压 $v(t)$ 或电流 $i(t)$ 通常与被转换的非电信号成正比(或其他关系)。由于非电信号随时间变化,故电压或电流都是时间的函数。

如果电压(或电流)在某个值域内可连续取值则称其为连续信号或模拟信号。例如,电压是时间的正弦函数 $v(t)=V_m \sin(\omega t + \varphi)$,电压在值域 $[-V_m, +V_m]$ 内可取任何值,故 $v(t)$ 是模拟信号。如果电压(或电流)在某个值域内只能是某个单位量的整数倍,则称其为离散信号或数字信号。例如,若单位量为 1mV,则数字电压信号的幅值只能是 0mV,±1mV,±2mV, ..., ±nmV。图 1.2.2 是信号的波形图,图 1.2.2(a) 是模拟信号,图 1.2.2(b) 是多值数字信号,图 1.2.2(c) 是二值数字信号。

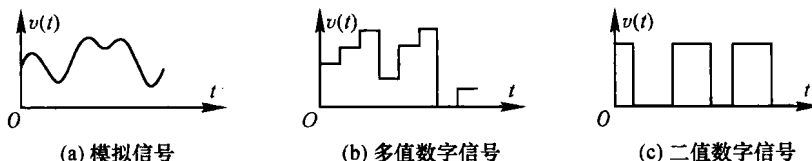


图 1.2.2 信号的波形图

处理模拟信号的电子电路称为模拟电路(analog circuit),是模拟电子技术基础教材要讨论的主要内容。处理数字信号的电子电路称为数字电路(digital circuit)。实现模拟信号转换为数字信号的电子电路称为模数转换电路(analog to digital converter, ADC),实现数字信号转换为模拟信号的电子电路称为数模转换电路(digital to analog converter, DAC)。通常,数字电路、模数转换电路和数模转换电路是数字电子技术基础教材要讨论的主要内容。

1.2.2 信号的频谱

信号承载的重要信息是它的频谱信息。例如,正弦信号 $v(t) = V_m \sin(\omega t + \varphi)$,其全部信息是幅度 V_m 、相位 φ 和角频率 ω 。正因为正弦信号是如此简单,所以它常被作为模拟电路的标准信号和测试信号。

信号幅度与频率的关系称为幅度频谱,信号相位与频率的关系称为相位频谱,它们统称为信号的频谱。

1) 周期信号的频谱

如果信号是时间的周期函数,则称其为周期信号。例如,电压周期信号

$$v = v(t) = v(t + T) \quad (1.2.1)$$

以周期 T 重复变化,每秒重复变化的次数称为频率

$$f = \frac{1}{T} \quad (1.2.2)$$

如果周期信号 $v(t)$ 满足狄利克雷条件(Dirichlet's condition):

- (1) $v(t)$ 在任意周期内绝对可积,即在任意时刻 t_0 积分 $\int_{t_0}^{t_0+T} |v(t)| dt$ 存在;
- (2) $v(t)$ 在任意周期内只有有限个极值;
- (3) $v(t)$ 在任意周期内只有有限个不连续点,

则 $v(t)$ 可展开为傅里叶级数,即

$$\left\{ \begin{array}{l} v(t) = a_0 + \sum_{n=1}^{\infty} [a_n \cos(n\omega_0 t) + b_n \sin(n\omega_0 t)] = V_0 + \sum_{n=1}^{\infty} V_n \sin(n\omega_0 t + \varphi_n) \\ \omega_0 = 2\pi f_0 = 2\pi \frac{1}{T} \\ a_n = \frac{2}{T} \int_{t_0}^{t_0+T} v(t) \cos(n\omega_0 t) dt \\ b_n = \frac{2}{T} \int_{t_0}^{t_0+T} v(t) \sin(n\omega_0 t) dt \\ V_0 = a_0 = \frac{1}{T} \int_{t_0}^{t_0+T} v(t) dt \\ V_n = \sqrt{a_n^2 + b_n^2} \\ \varphi_n = \arctan \frac{a_n}{b_n} \end{array} \right. \quad (1.2.3)$$

幅值 V_n 与 $n\omega_0$ 的关系是周期电压信号的幅度频谱,而相位 φ_n 与 $n\omega_0$ 的关系是周期电压信号的相位频谱,整数 n 是谐波次数。

例如,电压周期方波信号

$$v(t) = \begin{cases} V_s, & nT \leq t \leq (2n+1)\frac{T}{2} \\ 0, & (2n+1)\frac{T}{2} \leq t \leq (n+1)T \end{cases} \quad (1.2.4)$$

的傅里叶级数为

$$\begin{cases} v(t) = \frac{V_s}{2} + \frac{2V_s}{\pi} \sin \omega_0 t + \frac{2V_s}{3\pi} \sin 3\omega_0 t + \frac{2V_s}{5\pi} \sin 5\omega_0 t + \dots \\ \omega_0 = 2\pi \frac{1}{T} = 2\pi f_0 \end{cases} \quad (1.2.5)$$

周期方波信号的波形、幅度频谱和相位频谱如图 1.2.3 所示。

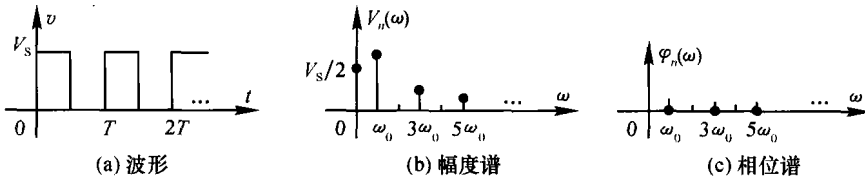


图 1.2.3 周期方波信号的波形、幅度谱和相位谱

由傅里叶级数的特性和周期方波信号的频谱实例可知, 周期信号的频谱是离散谱, 即频谱由直流分量($0\omega_0$)、基波分量($1\omega_0$)和高次谐波分量($2\omega_0, 3\omega_0, 4\omega_0, \dots$)组成, 且幅度谱随谐波次数的递增而减小。如果截取 $N\omega_0$ 以内的分量则可获得原始周期信号的近似波形, N 越大, 误差越小。

周期电压信号作用到电阻 R 上的平均功率为

$$P = \frac{1}{R} \left(V_0^2 + \sum_{n=1}^{\infty} \frac{1}{2} V_n^2 \right) = \frac{1}{R} V^2 \quad (1.2.6)$$

$$V = \sqrt{V_0^2 + \sum_{n=1}^{\infty} \frac{1}{2} V_n^2} \quad (1.2.7)$$

式中, V 是电压信号的有效值; $V_n/\sqrt{2}$ 是各次正弦波的有效值。总平均功率等于各次分量平均功率之和, 所以信号的幅度谱反映了信号的功率分布, 是信号最重要的特性之一。

2) 非周期信号的频谱

如果周期 T 趋于无穷大, 则周期信号变化为非周期信号。因此, 非周期信号的角频率 $\omega_0 = 2\pi/T$ 是无穷小量, 信号的频谱将在角频率轴上连续分布。

由数学分析可知, 如果模拟信号 $v(t)$ 绝对可积, 即 $\int_{-\infty}^{\infty} |v(t)| dt < \infty$, 则存在下述傅里叶变换对:

$$\begin{cases} V(j\omega) = \int_{-\infty}^{\infty} v(t) e^{-j\omega t} dt \\ v(t) = \frac{1}{2\pi} \int_{-\infty}^{\infty} V(j\omega) e^{j\omega t} dt \end{cases} \quad j = \sqrt{-1} \quad (1.2.8)$$

式中, $V(j\omega)$ 是非周期信号的频谱。则 $|V(j\omega)|$ 是相位谱, $|V(j\omega)|$ 是幅度谱, $|V(j\omega)|^2$ 是功率谱。

例如, 电压单脉冲信号

$$v(t) = \begin{cases} V_s, & -\tau \leq t \leq \tau \\ 0, & |t| > \tau \end{cases} \quad (1.2.9)$$

的傅里叶变换为

$$V(j\omega) = \int_{-\infty}^{\infty} v(t) e^{-j\omega t} dt = \int_{-\tau}^{\tau} V_s e^{-j\omega t} dt = \frac{2V_s}{\omega} \sin \frac{\omega\tau}{2} \quad (1.2.10)$$

电压单脉冲信号的波形和幅度谱如图 1.2.4 所示, 其幅度谱是连续分布的, 并且脉冲宽度(2τ)越窄, 高频分量越多; 频谱幅度与脉冲幅度和脉冲宽度之积(τV_s)成正比。

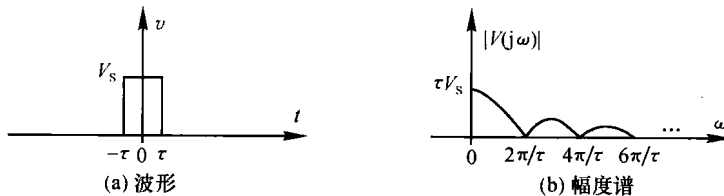


图 1.2.4 电压单脉冲信号的波形和幅度谱

在工程实际中, 信号作用的时段通常是有限的, 满足绝对可积条件, 信号的频谱总是存在的, 如音频信号的频谱在[20Hz, 20kHz]范围内连续分布。对工程实际问题有重要影响的信号称为有用信号(有效信号), 通常有用信号的频谱范围是有限的。表 1.2.1 列出了一些典型信号(有用信号)的频率范围。

表 1.2.1 典型信号的频率范围

信 号	频 率 范 围	信 号	频 率 范 围
心电信号	0.05~200Hz	调频无线电信号	88~108MHz
音频信号	20Hz~20kHz	超高频电视信号	470~806MHz
模拟电视信号	0Hz~4.5MHz	卫星电视信号	3.7~4.2GHz
调幅无线电信号	540~1600kHz		

3) 干扰和噪声信号的频谱

除了有用信号外, 工程实际问题中还存在干扰和噪声信号。

电子电路总是处在复杂的电磁环境中。例如, 自然界的雷电、电力输电线路、无线电台和电视台、电动机的启停等产生的电磁现象必然在电子电路中产生电压或电流脉冲信号, 它们对电子电路的正常运行产生干扰, 所以称为干扰信号, 其频谱分布与图 1.2.4 相似, 包含丰富的高频分量。

噪声通常是指由于电子的不规则运动引起的对有用信号的扰动信号。例如, 在电阻材料中电子总是在做无规则的热运动, 对外电压引起的定向运动形成扰动电流, 这种由于电子的热运动产生的扰动信号称为热噪声。扰动电流很小, 并且是随机产生的, 与定向运动电流的频率无关, 具有均匀分布的功率频谱。当定向运动电流(有用信号)远大于扰动电流时, 扰动信号忽略不计。但是, 当定向运动电流与扰动电流相当时, 有用信号则被淹没在扰动信号中。所以, 噪声信号限制了电子系统所能处理的最小信号。

干扰和噪声对信号源和电子电路都有影响, 电子系统必须对它们有一定的抑制能力。评价信号优劣的指标是信噪比 S/N , 定义为有用信号的功率与噪声信号的功率之比。信噪比越大, 信号越好。电子系统对噪声和干扰的抑制能力用输出信号的信噪比(S/N)。除以输入信

号的信噪比(S/N)来评价,商越大,抑制能力越强。

有关信号分析的其他内容,请读者阅读“信号与系统”方面的书籍。

1.3 电子系统组成框图

电子系统是由若干互相连接和相互作用的基本电子电路组成的、实现特定功能的电路整体。电子系统的主要作用是实现电信号的产生、获取、放大、变换、传输、识别和应用等功能(或前述的部分功能),处理的对象是电信号。电子系统组成框图如图 1.3.1 所示。

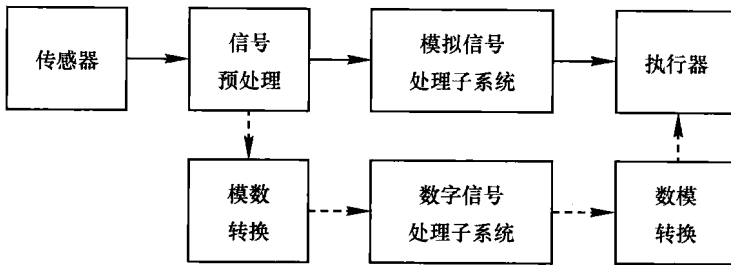


图 1.3.1 电子系统组成框图

传感器先将工程实际中涉及的某些物理量转换为电信号。通常为了避免对物理量状态产生影响,传感器摄取的能量很小,输出的电信号也很微弱(如毫伏级或微伏级的电压信号),并且信号不可避免地伴随着干扰和噪声信号。目前,电子电路对电信号进行可靠的各种处理必须达到数百毫伏或伏级以上,因此通常应该对传感器的输出信号进行预处理,包括信号幅度的放大和滤除干扰及噪声信号。

根据工程实际的要求,可以选择不同的信号处理操作,包括对信号的放大、运算(加法、减法、乘法、积分和微分等)、各种函数变换、频谱变换和逻辑运算等。理论上,各种信号处理操作都可以用模拟方式(图 1.3.1 中的实线箭头)或数字方式(图 1.3.1 中的虚线箭头)实现。如果采用数字方式,还要对预处理后的信号进行模拟信号到数字信号的转换。数字信号处理后,通过数模转换电路将数字信号还原成模拟信号。最后,通过不同的执行器将符合工程实际要求的信号还原成某种物理量,实现对工程实际环境的某种操作。

数字处理子系统可以是通用的数字电路系统、计算机系统甚至计算机网络系统。通常数字处理系统比模拟处理系统可靠性好、处理精度高。目前绝大多数的模拟处理系统都被数字处理系统取代,所以人们欢呼数字时代,为数字信息处理高唱赞歌。但是数字系统比模拟系统复杂,与现实的物理世界存在数模转换的距离,最致命的缺点是不能处理微弱信号,这为模拟系统保留了发挥作用的一席之地。因此,实际的电子系统应该是模拟和数字混合系统。混合系统通常具有图 1.3.1 中去掉模拟信号处理子系统的结构框图。

1.4 电子技术及其发展概述

电子学或电子技术是一门研究电子器件、电子电路及其应用的科学和技术。

在电力系统中,主要是利用电子在金属中的运动规律构成电能的生产、传输和使用等电气设备。而电子器件则是利用电子在真空或半导体中的运动规律构成特定功能的器件。目前,半导体器件是电子器件的主体,包括半导体二极管、三极管、集成电路等。